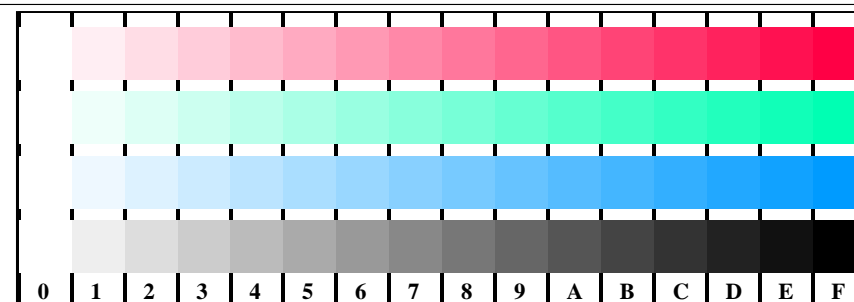


vedi file simili: <http://farbe.li.tu-berlin.de/AI16/AI16.HTM>
informazioni tecniche: <http://farbe.li.tu-berlin.de/> o <http://farbe.li.tu-berlin.de/>

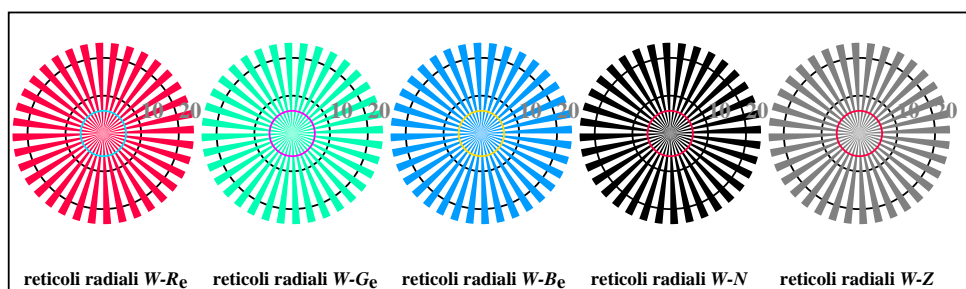
rbe.li/tu-berlin.de/AE.HTM

<http://farbe.li.tu-berlin.de/AI16/AI16F0P0.PDF> /PS; linearizzazione 3D, pagine 1/8
F: linearizzazione 3D AI16/AI16LF0P0.PDF /PS nel file (F)

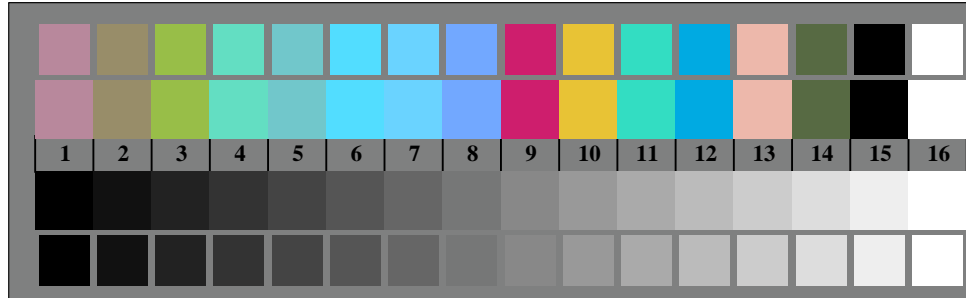


AI161-1, Fig. D4Wde: 16 equidistante passi $W-R_E$; $W-G_E$; $W-B_E$; $W-N$; $rgb/cmy0->rgb_{de}$ setrgbcolor

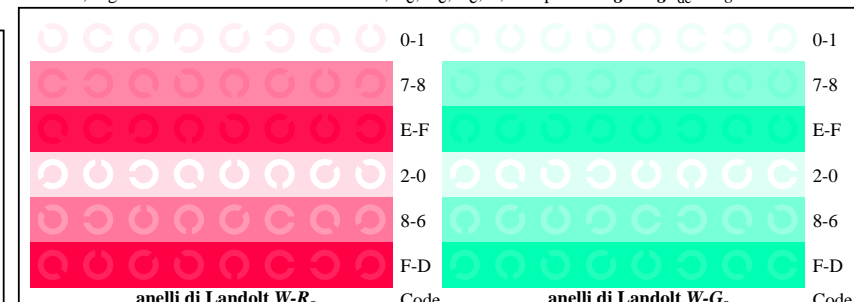
AI161-3, Fig. D5Wde: codice i Landolt anelli N ; R_e ; G_e ; B_e ; Z ; PS operator: $rgb \rightarrow rgb_{de}$ setrgbcolor



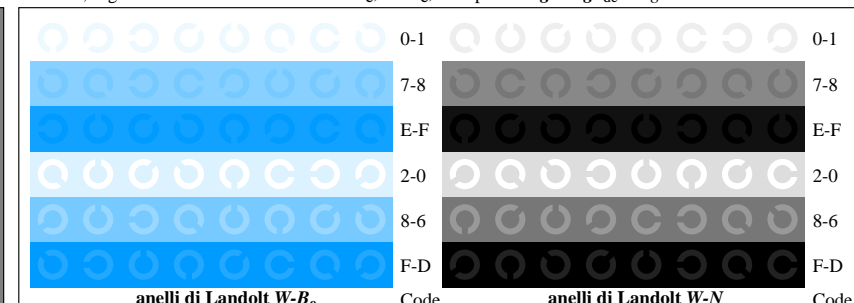
AI160-5, Fig. D2Wde: reticoli radiali $W-Re$; $W-Ge$; $W-Be$; $W-N$; PS operator: $rgb \rightarrow rgb_{de}$ setrgbcolor



AI160-7, Fig. D3Wde: 14 prova colori CIE i 2 + 16 grigio passi (sf); $rgb/cmy0->rgb_{de}$ setrgbcolor



AI161-5, Fig. D6Wde: anelli di Landolt $W-R_E$; $W-G_E$; PS operator: $rgb \rightarrow rgb_{de}$ setrgbcolor

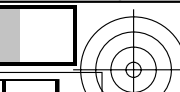


AI161-7, Fig. D7Wde: anelli di Landolt W-B_e; W-N; PS operator:rgb->rgb_{de} setrgbcolor

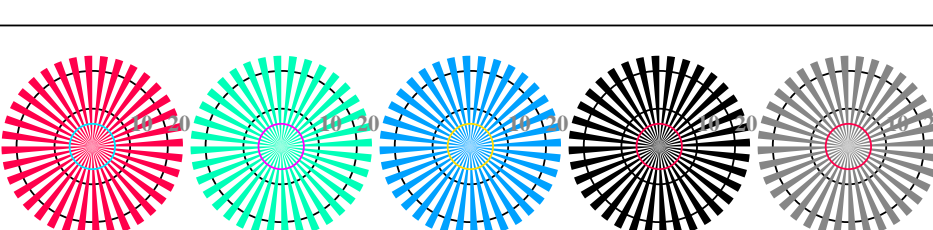
Grafico AI16 conformemente a grafico 4 a ISO/IEC 15775
Tavola dei colori cromatici *RGB*

Input: *rgb/cmy0/000n/w* set...
Output: ->*rgb_{de}* *setrgbcolor*

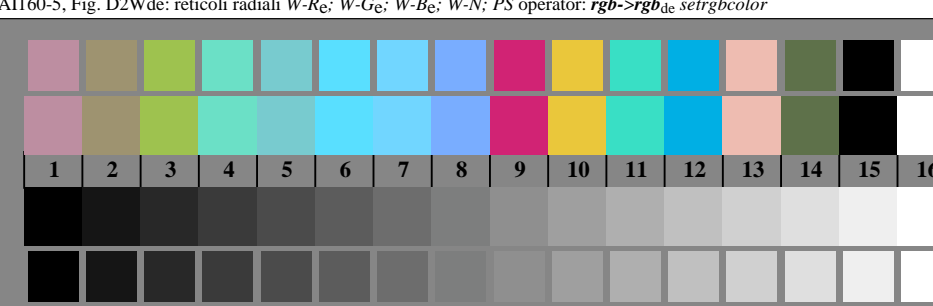




vedi file simili: <http://farbe.li.tu-berlin.de/AI16/AI16.HTM>
 informazioni tecniche: <http://farbe.li.tu-berlin.de/o> <http://farbe.li.tu-berlin.de/AE.HTM>

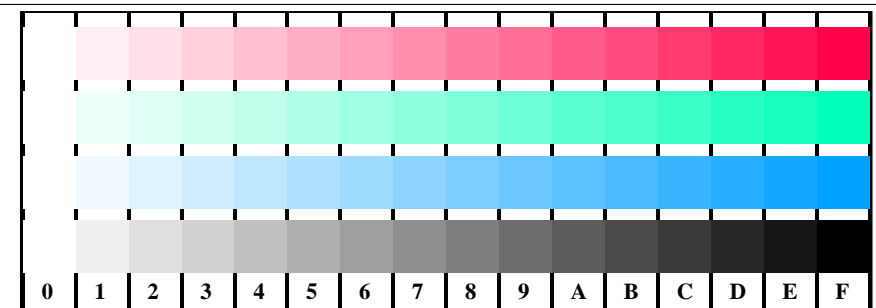


AI160-5, Fig. D2Wde: reticolli radiali $W-R_e$; $W-G_e$; $W-B_e$; $W-N$; PS operator: $rgb \rightarrow rgb_{de}$ setrgbcolor



AI160-7, Fig. D3Wde: 14 prova colori CIE i 2 + 16 grigio passi (sf); $rgb/cmy0 \rightarrow rgb_{de}$ setrgbcolor

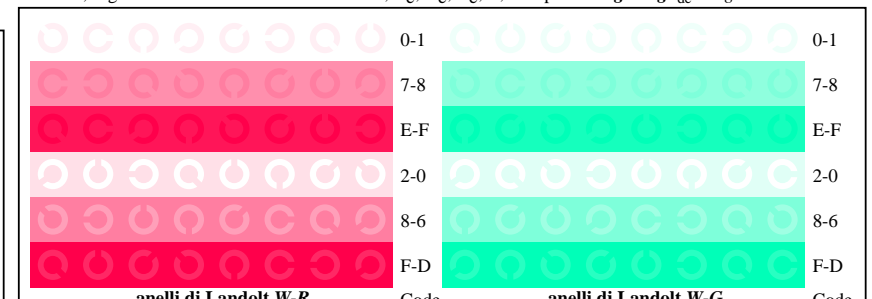
Grafico AI16 conformemente a grafico 4 a ISO/IEC 15775
 Tavola dei colori cromatici RGB



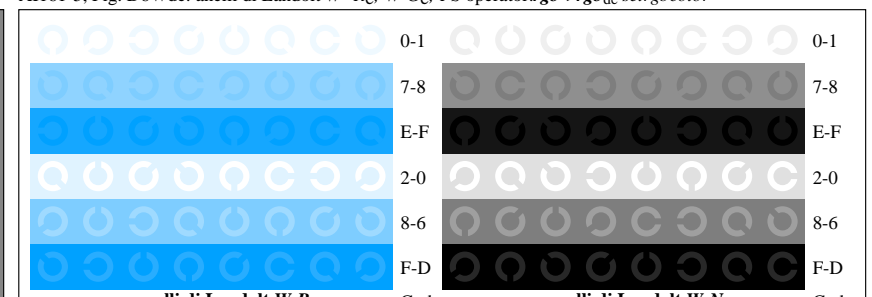
AI161-1, Fig. D4Wde: 16 equidistante passi $W-R_e$; $W-G_e$; $W-B_e$; $W-N$; $rgb/cmy0 \rightarrow rgb_{de}$ setrgbcolor

+-..	C	O	Q	O	lmno	O	O	O	O	pqr	O	O	O	O	tuvw	O	O	O	O
xyz;	O	O	O	O	hijk	O	O	O	O	lmno	O	O	O	O	pqr	O	O	O	O
tuvw	O	O	O	O	defg	O	O	O	O	hijk	O	O	O	O	lmno	O	O	O	O
pqrs	O	O	O	O	!abc	O	O	O	O	defg	O	O	O	O	xyz;	O	O	O	O
lmno	O	O	O	O	+-..	O	O	O	O	tuvw	O	O	O	O	!abc	O	O	O	O
hijk	O	O	O	O	xyz;	O	O	O	O	defg	O	O	O	O	xyz;	O	O	O	O
defg	O	O	O	O	tuvw	O	O	O	O	!abc	O	O	O	O	defg	O	O	O	O
!abc	O	O	O	O	defg	O	O	O	O	!abc	O	O	O	O	!abc	O	O	O	O
10	N	R _e	G _e	B _e	Z	8	N	R _e	G _e	B _e	Z	6	N	R _e	G _e	B _e	Z	4	

AI161-3, Fig. D5Wde: codice i Landolt anelli N; R_e ; G_e ; B_e ; Z; PS operator: $rgb \rightarrow rgb_{de}$ setrgbcolor



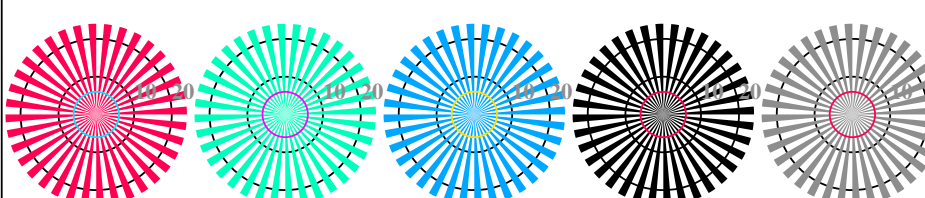
AI161-5, Fig. D6Wde: anelli di Landolt $W-R_e$; $W-G_e$; PS operator: $rgb \rightarrow rgb_{de}$ setrgbcolor



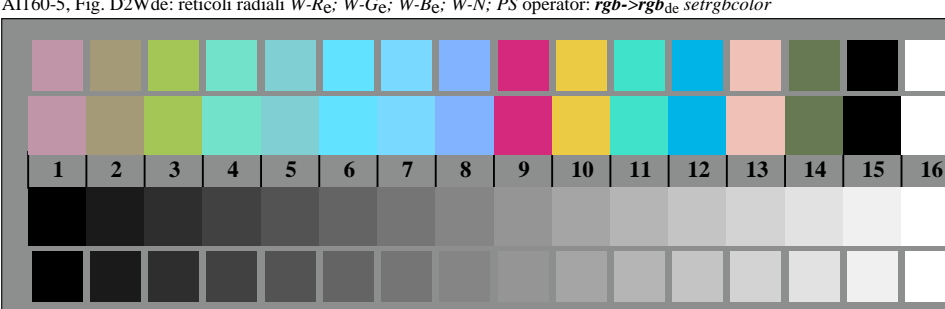
AI161-7, Fig. D7Wde: anelli di Landolt $W-B_e$; $W-N$; PS operator: $rgb \rightarrow rgb_{de}$ setrgbcolor

Input: $rgb/cmy0/000n/w$ set...
 Output: $\rightarrow rgb_{de}$ setrgbcolor

vedi file simili: <http://farbe.li.tu-berlin.de/AI16/AI16.HTM>
informazioni tecniche: <http://farbe.li.tu-berlin.de/o http://farbe.li.tu-berlin.de/AE.HTM>

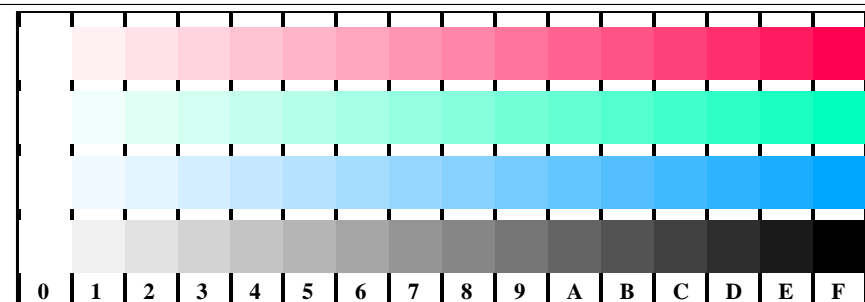


AI16-5, Fig. D2Wde: reticolli radiali $W-R_e$; $W-G_e$; $W-B_e$; $W-N$; PS operator: $rgb \rightarrow rgb_{de}$ setrgbcolor

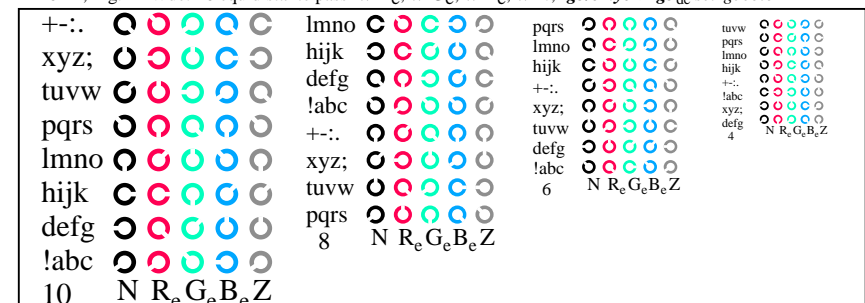


AI16-7, Fig. D3Wde: 14 prova colori CIE i 2 + 16 grigio passi (sf); $rgb/cmy0 \rightarrow rgb_{de}$ setrgbcolor

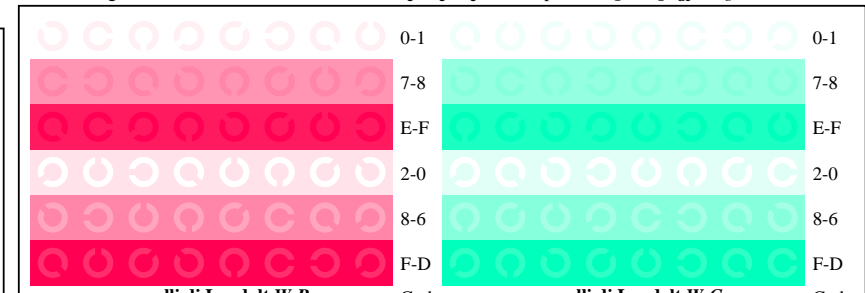
Grafico AI16 conformemente a grafico 4 a ISO/IEC 15775
Tavola dei colori cromatici RGB



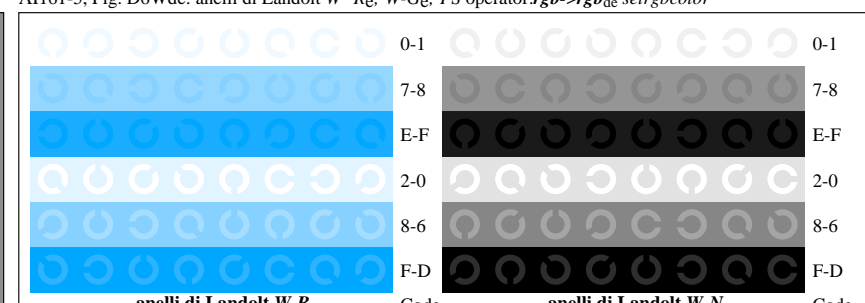
AI16-1, Fig. D4Wde: 16 equidistante passi $W-R_e$; $W-G_e$; $W-B_e$; $W-N$; $rgb/cmy0 \rightarrow rgb_{de}$ setrgbcolor



AI16-3, Fig. D5Wde: codice i Landolt anelli N ; R_e ; G_e ; B_e ; Z ; PS operator: $rgb \rightarrow rgb_{de}$ setrgbcolor



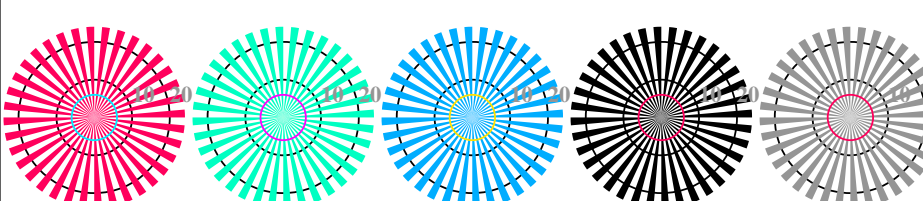
AI16-5, Fig. D6Wde: anelli di Landolt $W-R_e$; $W-G_e$; PS operator: $rgb \rightarrow rgb_{de}$ setrgbcolor



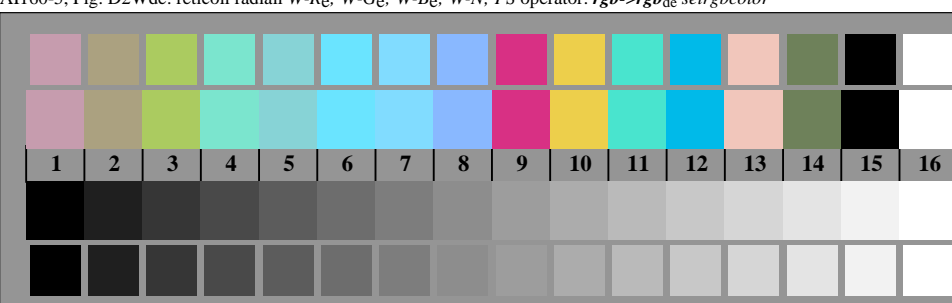
AI16-7, Fig. D7Wde: anelli di Landolt $W-B_e$; $W-N$; PS operator: $rgb \rightarrow rgb_{de}$ setrgbcolor

Input: $rgb/cmy0/000n/w$ set...
Output: $\rightarrow rgb_{de}$ setrgbcolor

vedi file simili: <http://farbe.li.tu-berlin.de/AI16/AI16.HTM>
informazioni tecniche: <http://farbe.li.tu-berlin.de/o http://farbe.li.tu-berlin.de/AE.HTM>

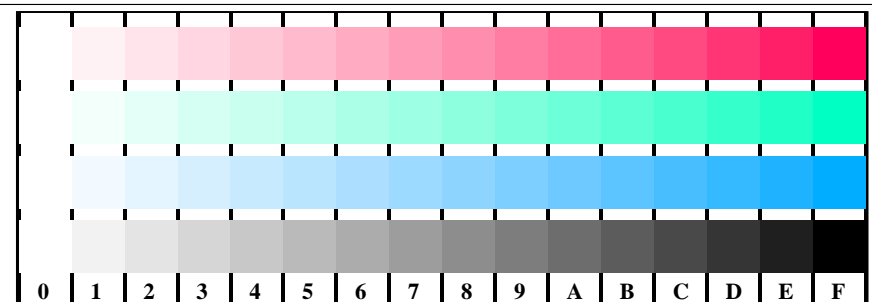


AI16-5, Fig. D2Wde: reticolli radiali W-Re; W-Ge; W-Be; W-N; PS operator: `rgb->rgb_de setrgbcolor`

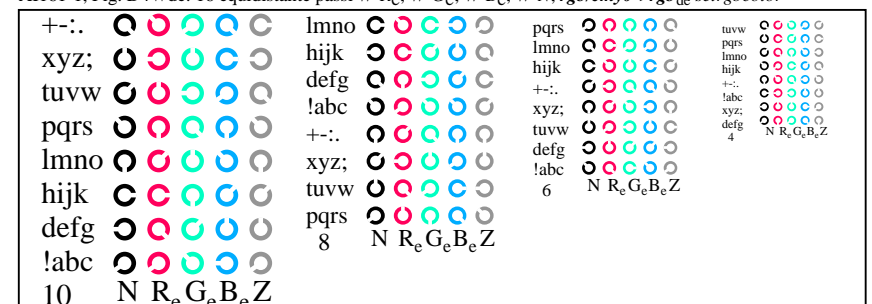


AI16-7, Fig. D3Wde: 14 prova colori CIE i 2 + 16 grigio passi (sf); `rgb/cmy0->rgb_de setrgbcolor`

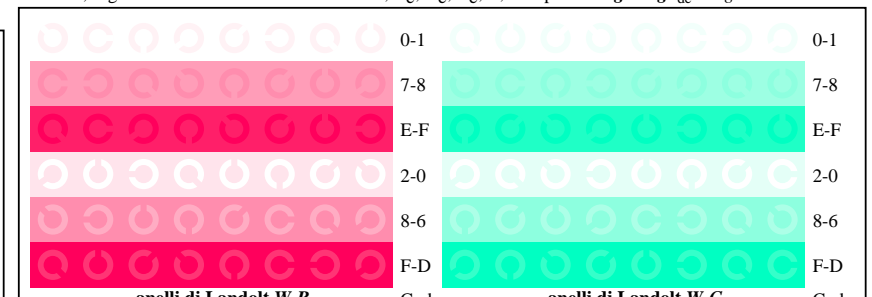
Grafico AI16 conformemente a grafico 4 a ISO/IEC 15775
Tavola dei colori cromatici RGB



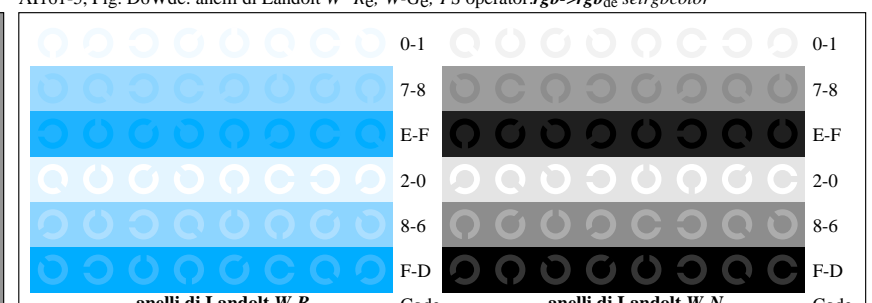
AI16-1, Fig. D4Wde: 16 equidistante passi W-Re; W-Ge; W-Be; W-N; `rgb/cmy0->rgb_de setrgbcolor`



AI16-3, Fig. D5Wde: codice i Landolt anelli N; **R_e; G_e; B_e; Z**; PS operator: `rgb->rgb_de setrgbcolor`



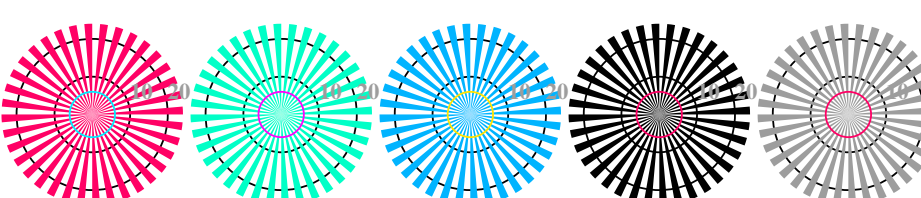
AI16-5, Fig. D6Wde: anelli di Landolt W-Re; W-Ge; PS operator: `rgb->rgb_de setrgbcolor`



AI16-7, Fig. D7Wde: anelli di Landolt W-Be; W-N; PS operator: `rgb->rgb_de setrgbcolor`

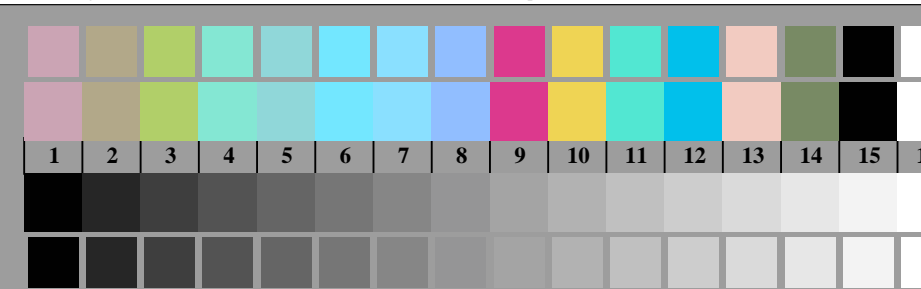
Input: `rgb/cmy0/000n/w set...`
Output: `->rgb_de setrgbcolor`

vedi file simili: <http://farbe.li.tu-berlin.de/AI16/AI16.HTM>
informazioni tecniche: <http://farbe.li.tu-berlin.de/o http://farbe.li.tu-berlin.de/AE.HTM>



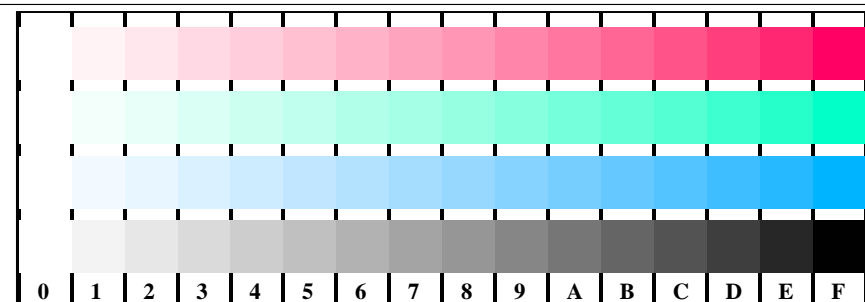
reticolli radiali W-Re reticolli radiali W-Ge reticolli radiali W-Be reticolli radiali W-N reticolli radiali W-Z

AI160-5, Fig. D2Wde: reticolli radiali W-Re; W-Ge; W-Be; W-N; PS operator: `rgb->rgb_de setrgbcolor`

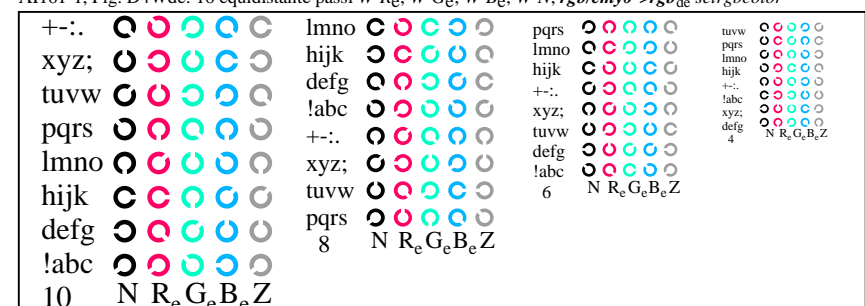


AI160-7, Fig. D3Wde: 14 prova colori CIE i 2 + 16 grigio passi (sf); `rgb/cmy0->rgb_de setrgbcolor`

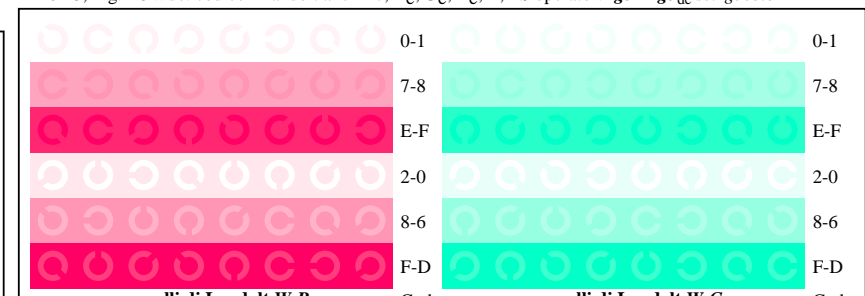
Grafico AI16 conformemente a grafico 4 a ISO/IEC 15775
Tavola dei colori cromatici RGB



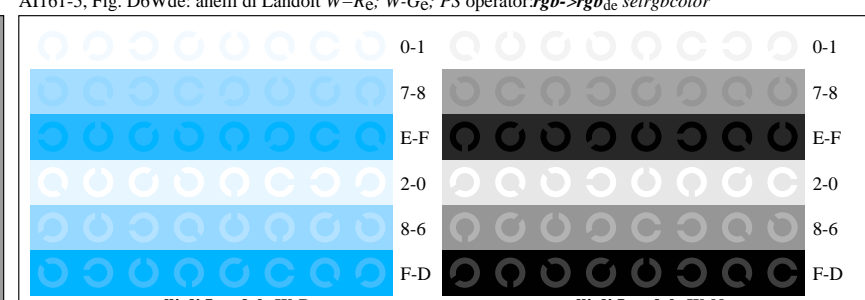
AI161-1, Fig. D4Wde: 16 equidistante passi W-Re; W-Ge; W-Be; W-N; `rgb/cmy0->rgb_de setrgbcolor`



AI161-3, Fig. D5Wde: codice i Landolt anelli N; R_e; G_e; B_e; Z; PS operator: `rgb->rgb_de setrgbcolor`



AI161-5, Fig. D6Wde: anelli di Landolt W-Re; W-Ge; PS operator: `rgb->rgb_de setrgbcolor`



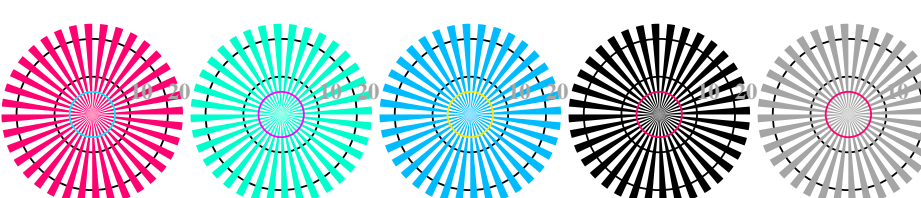
AI161-7, Fig. D7Wde: anelli di Landolt W-B_e; W-N; PS operator: `rgb->rgb_de setrgbcolor`

Input: `rgb/cmy0/000n/w set...`
Output: `->rgb_de setrgbcolor`

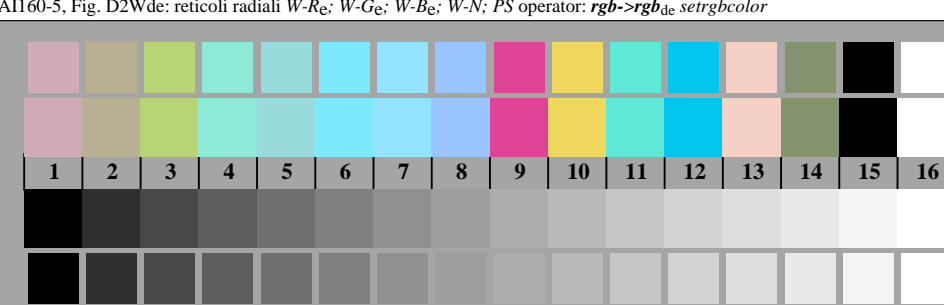
iscrizione TUB: 20190301-AI16/AI16L0FA.TXT /PS
Application per la misura dell'output di display et output di stampa

TUB materiale: code=rha4ta

vedi file simili: http://farbe.li.tu-berlin.de/AI16/AI16.HTM
informazioni tecniche: http://farbe.li.tu-berlin.de/o http://farbe.li.tu-berlin.de/AE.HTM

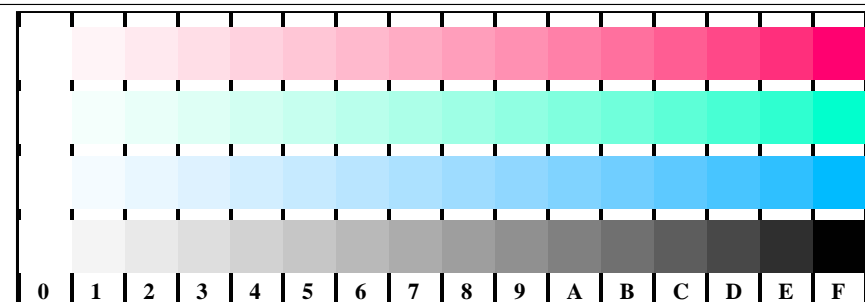


AI16-5, Fig. D2Wde: reticolli radiali $W-R_e$; $W-G_e$; $W-B_e$; $W-N$; PS operator: $rgb \rightarrow rgb_{de} setrgbcolor$



AI16-7, Fig. D3Wde: 14 prova colori CIE i 2 + 16 grigio passi (sf); $rgb/cmy0 \rightarrow rgb_{de} setrgbcolor$

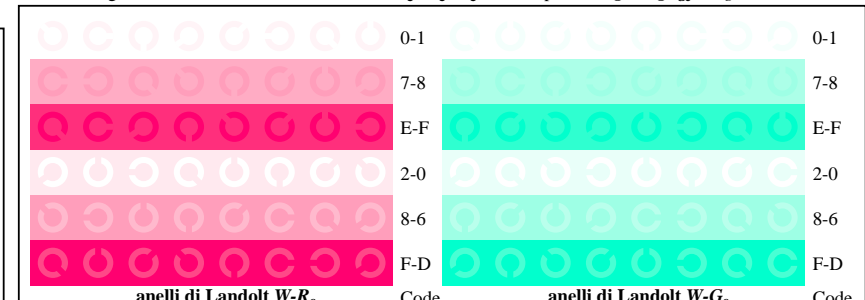
Grafico AI16 conformemente a grafico 4 a ISO/IEC 15775
Tavola dei colori cromatici RGB



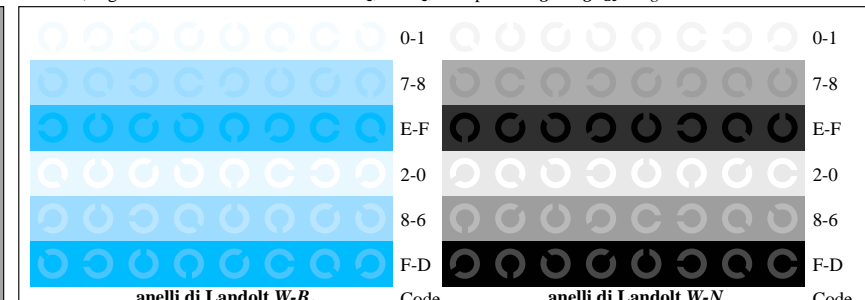
AI16-1, Fig. D4Wde: 16 equidistante passi $W-R_e$; $W-G_e$; $W-B_e$; $W-N$; $rgb/cmy0 \rightarrow rgb_{de} setrgbcolor$

+-..	C	lmno	0	tuvw	tuvw
xyz;	C	hijk	0	lmno	0
tuvw	C	defg	0	pqr	0
pqrs	C	!abc	0	lmno	0
lmno	C	+-..	0	pqr	0
hijk	C	xyz;	0	lmno	0
defg	C	tuvw	0	lmno	0
!abc	C	pqrs	0	lmno	0
10	N	lmno	0	lmno	0
	N	hijk	0	hijk	0
	N	defg	0	defg	0
	N	!abc	0	!abc	0
	N	10	N	N	N
	N	N	R _e G _e B _e Z	R _e G _e B _e Z	R _e G _e B _e Z

AI16-3, Fig. D5Wde: codice i Landolt anelli N; R_e ; G_e ; B_e ; Z; PS operator: $rgb \rightarrow rgb_{de} setrgbcolor$



AI16-5, Fig. D6Wde: anelli di Landolt $W-R_e$; $W-G_e$; PS operator: $rgb \rightarrow rgb_{de} setrgbcolor$

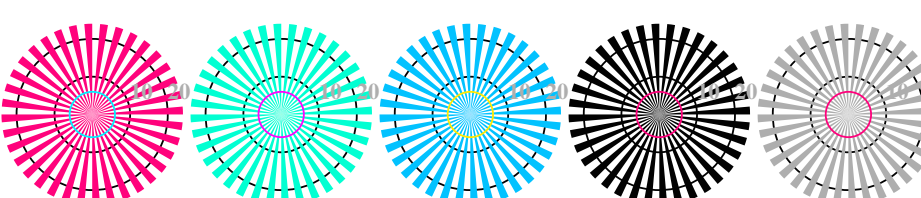


AI16-7, Fig. D7Wde: anelli di Landolt $W-B_e$; $W-N$; PS operator: $rgb \rightarrow rgb_{de} setrgbcolor$

Input: $rgb/cmy0/000n/w set...$
Output: $\rightarrow rgb_{de} setrgbcolor$

vedi file simili: <http://farbe.li.tu-berlin.de/AI16/AI16.HTM>

informazioni tecniche: <http://farbe.li.tu-berlin.de/o http://farbe.li.tu-berlin.de/AE.HTM>

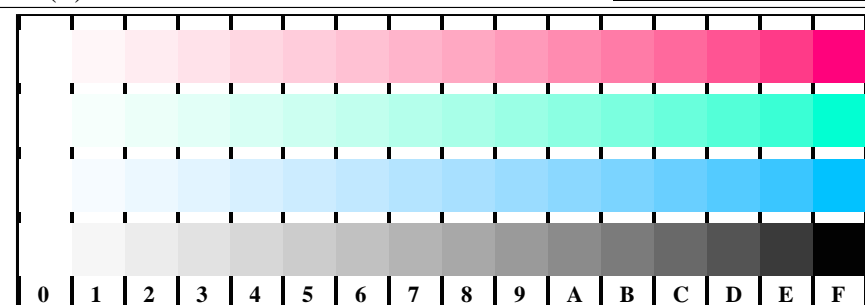


AI16-5, Fig. D2Wde: reticolli radiali W-Re; W-Ge; W-Be; W-N; PS operator: $rgb \rightarrow rgb_{de}$ setrgbcolor



AI16-7, Fig. D3Wde: 14 prova colori CIE i 2 + 16 grigio passi (sf); $rgb/cmy0 \rightarrow rgb_{de}$ setrgbcolor

Grafico AI16 conformemente a grafico 4 a ISO/IEC 15775
 Tavola dei colori cromatici RGB



AI16-1, Fig. D4Wde: 16 equidistante passi W-Re; W-Ge; W-Be; W-N; $rgb/cmy0 \rightarrow rgb_{de}$ setrgbcolor

+-..	C	O	Q	Q	lmno	C	O	Q	Q	pqr	O	Q	Q	Q	tuvw	O	Q	Q	Q
xyz;	C	O	Q	Q	hijk	C	O	Q	Q	lmno	O	Q	Q	Q	pqr	O	Q	Q	Q
tuvw	C	O	Q	Q	defg	C	O	Q	Q	hijk	O	Q	Q	Q	lmno	O	Q	Q	Q
pqrs	C	O	Q	Q	!abc	C	O	Q	Q	defg	O	Q	Q	Q	tuvw	O	Q	Q	Q
lmno	C	O	Q	Q	+-..	C	O	Q	Q	!abc	O	Q	Q	Q	xyz;	O	Q	Q	Q
hijk	C	O	Q	Q	xyz;	C	O	Q	Q	tuvw	O	Q	Q	Q	defg	O	Q	Q	Q
defg	C	O	Q	Q	tuvw	C	O	Q	Q	pqrs	O	Q	Q	Q	!abc	O	Q	Q	Q
!abc	C	O	Q	Q	pqrs	C	O	Q	Q	lmno	O	Q	Q	Q	xyz;	O	Q	Q	Q
10	N	R _e	G _e	B _e	Z	8	N	R _e	G _e	B _e	Z	6	N	R _e	G _e	B _e	Z		

AI16-3, Fig. D5Wde: codice i Landolt anelli N; R_e; G_e; B_e; Z; PS operator: $rgb \rightarrow rgb_{de}$ setrgbcolor

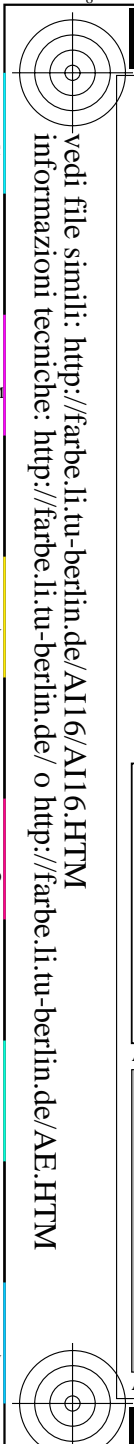
	0-1		0-1
C	0-1	C	0-1
C	7-8	C	7-8
C	E-F	C	E-F
C	2-0	C	2-0
C	8-6	C	8-6
C	F-D	C	F-D
anelli di Landolt W-Re		Code	anelli di Landolt W-Ge
			Code

AI16-5, Fig. D6Wde: anelli di Landolt W-Re; W-Ge; PS operator: $rgb \rightarrow rgb_{de}$ setrgbcolor

	0-1		0-1
C	0-1	C	0-1
C	7-8	C	7-8
C	E-F	C	E-F
C	2-0	C	2-0
C	8-6	C	8-6
C	F-D	C	F-D
anelli di Landolt W-Be		Code	anelli di Landolt W-N
			Code

AI16-7, Fig. D7Wde: anelli di Landolt W-Be; W-N; PS operator: $rgb \rightarrow rgb_{de}$ setrgbcolor

Input: $rgb/cmy0/000n/w$ set...
 Output: $\rightarrow rgb_{de}$ setrgbcolor

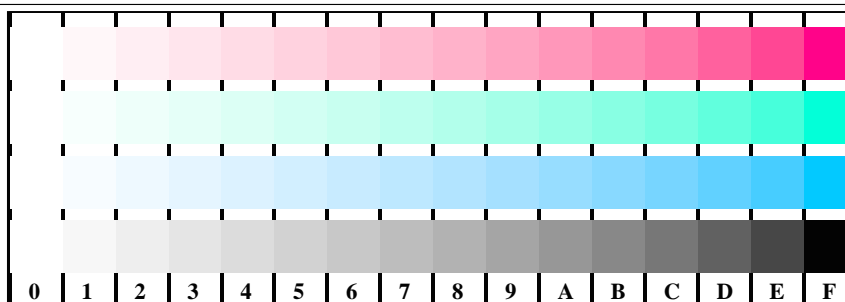


+vedi file simili: <http://farbe.li/tu-berlin.de/AI6/AI6.HTM>
informazioni tecniche: <http://farbe.li/tu-berlin.de/> o <http://farbe.li/tu-berlin.de/>

rbe.li.tu-berlin.de/AE.HTM

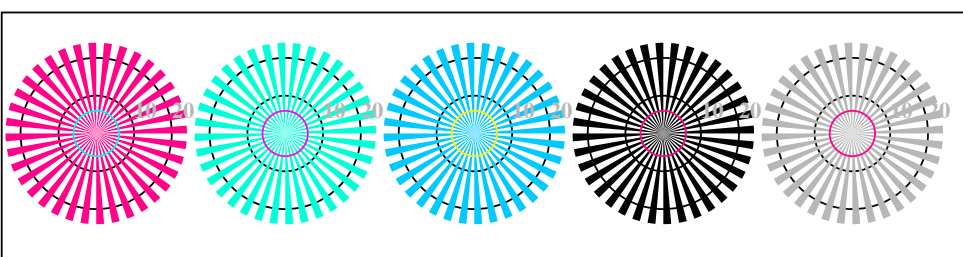
1

<http://farbe.li.tu-berlin.de/AI16/AI16F0P0.PDF> /PS; linearizzazione 3D, pagine 8/8
F: linearizzazione 3D AI16/AI16LF0P0.PDF /PS nel file (F)

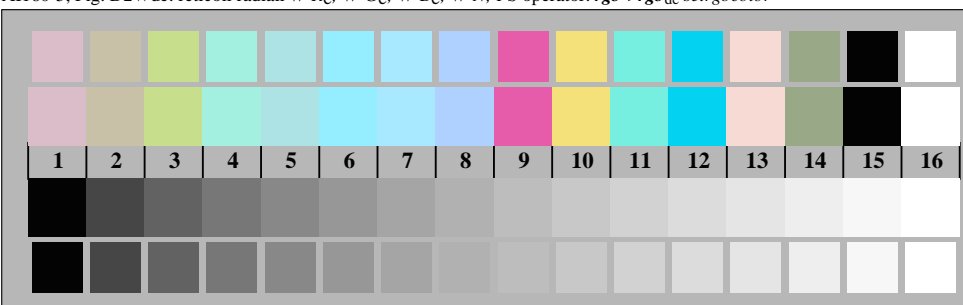


AI161-1, Fig. D4Wde: 16 equidistant passi $W-R_e$; $W-G_e$; $W-B_e$; $W-N$; $rgb/cm\gamma 0->rgb_{de}$ setrgbcolor

AI161-3, Fig. D5Wde: codice i Landolt anelli N ; R_e ; G_e ; B_e ; Z ; PS operator: $rgb \rightarrow rgb_{de}$ setrgbcolor

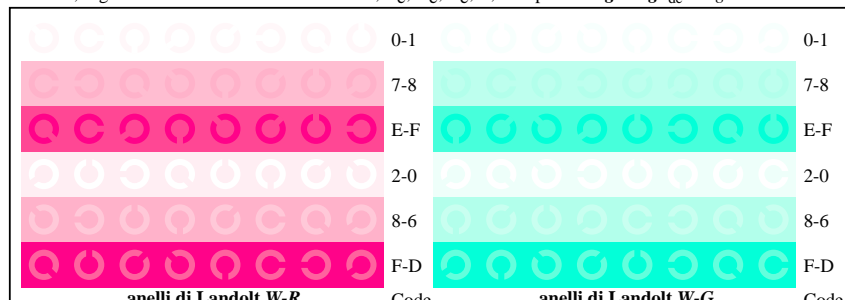


All-60-5, Fig. D2Wde: reticolli radiali $W\text{-}Re$; $W\text{-}Ge$; $W\text{-}Be$; $W\text{-}N$; PS operatore: $rgb \rightarrow rgha$, setrgbcolor

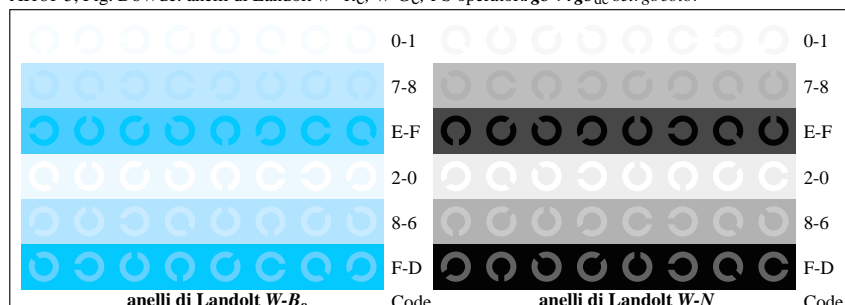


AI160-7, Fig. D3Wde: 14 prova colori CIE i 2 + 16 grigio passi (sf); $rgb/cmy0->rgb$ de setrgbcolor

Grafico AI16 conformemente a grafico 4 a ISO/IEC 15775
Tavola dei colori cromatici *RGB*



AI161-5, Fig. D6Wde: anelli di Landolt W-Re; W-Ge; PS operator: $rgh \rightarrow rgh_{de}$ setrghcotor.



AI161-7, Fig. D7Wde: anelli di Landolt $W-B_e$; $W-N$; PS operator: $rgb \rightarrow rgb_{de}$ setrgbcolor

Input: *rgb/cmy0/000n/w set...
Output: ->rgbde setrgbcolor*

